

# 2024~2025 学年度上期高中 2023 级期末考试

## 地 理

考试时间 75 分钟，满分 100 分

**注意事项：**

1. 答题前，考生务必在答题卡上将自己的姓名、座位号和准考证号用 0.5 毫米黑色签字笔填写清楚，考生考试条形码由监考老师粘贴在答题卡上的“贴条形码区”。
2. 选择题使用 2B 铅笔填涂在答题卡上对应题目标号的位置上，如需改动，用橡皮擦干净后再填涂其它答案；非选择题用 0.5 毫米黑色签字笔在答题卡的对应区域内作答，超出答题区域答题的答案无效；在草稿纸上、试卷上答题无效。
3. 考试结束后由监考老师将答题卡收回。

**一、选择题：**本题共 30 小题，每小题 2 分，共 60 分。在每个小题给出的四个选项中，只有一项是符合题目要求的。

图 1 为某区域等高线地形图。据此完成 1~3 题。

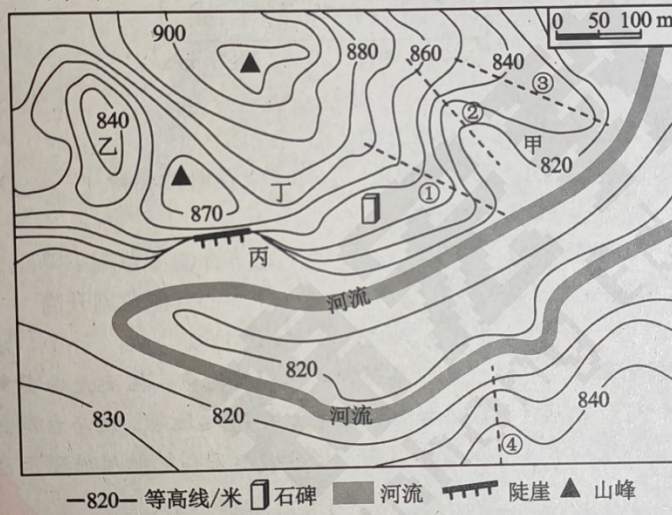


图 1

1. 图中①②③④地中最可能有河流发育的是  
 A. ①                      B. ②                      C. ③                      D. ④
2. 图中陡崖的相对高度可能为  
 A. 28 m                    B. 42 m                    C. 50 m                    D. 55 m
3. 山上有一处题刻了山名的石碑（高度不超过 1 米），不考虑树木遮挡，下列位置能清楚地看到石碑的是  
 A. 甲                      B. 乙                      C. 丙                      D. 丁

月球在巡天过程中会有背景行星（或恒星）被它遮挡住，这一现象叫作“月掩星”。2024 年发生了多次“月掩土星”，我国境内可见两次，分别在 7 月 25 日和 10 月 15 日上演。图 2 为地球公转位置示意图。据此完成 4~5 题。

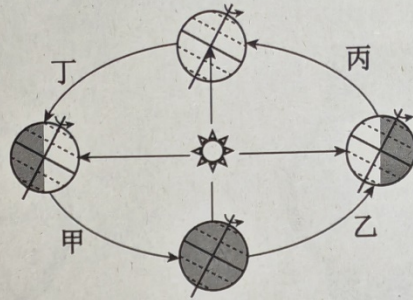


图 2

4. 今年我国境内前后两次上演“月掩土星”时，地球在公转轨道上的位置分别位于图中的
- A. 乙段和甲段      B. 甲段和乙段      C. 乙段和丙段      D. 丙段和丁段
5. 今年我国境内前后两次“月掩土星”发生期间，地球公转速度
- A. 先变慢再变快      B. 先变快再变慢  
C. 越来越慢      D. 越来越快

家住甲地的某同学设计“影子长度”探究学习活动。夏至日，他在当地时间 10:00~14:00 每隔一小时测量直立杆（杆长 1 米）的影子长度，图 3 为根据测量数据绘制的甲地直立杆（杆长 1 米）影长变化图。据此完成 6~8 题。

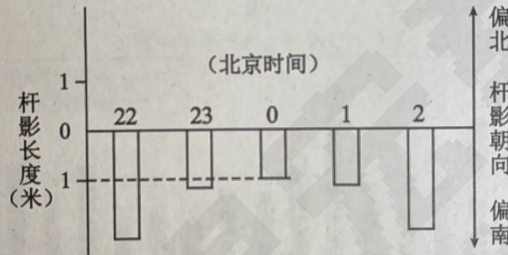


图 3

6. 甲地的经度可能为
- A. 120°E      B. 90°E      C. 60°W      D. 90°W
7. 由图可知甲地
- A. 位于北半球      B. 有极昼极夜  
C. 属于中纬度      D. 有太阳直射
8. 在测量当日至之后的一周时间内，该地
- A. 昼短夜长，夜渐短      B. 昼短夜长，昼渐短  
C. 昼长夜短，夜渐长      D. 昼长夜短，昼渐长

人们在野外可以借助机械手表和太阳确定方向。在北半球，把手表平放，使时针对准太阳；中午 12 点前，时针与钟表“12”时之间夹角的平分线所指方向就是南方（如图 4）；中午 12 点后，按逆时针方向，时针与钟表“12”时之间夹角的平分线所指方向为南方。某日北京时间 9 时，正在四川盆地某处（30°N，105°E）的考察队员将手表的时针对准了此时的太阳（如图 5）。据此完成 9~10 题。

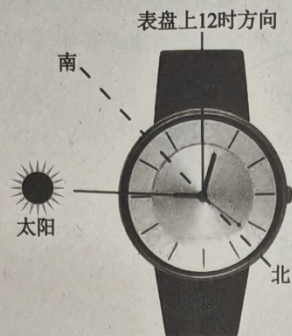


图 4

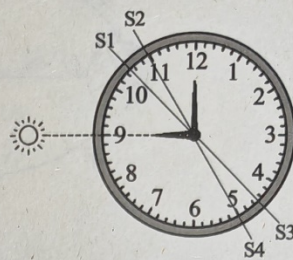


图 5

9. 运用上述方法确定方向, 需要依据
- A. 地球公转的线速度
  - B. 地球公转的角速度
  - C. 地球自转的线速度
  - D. 地球自转的角速度
10. 该考察队员所在地的正南方应该是图 5 中的
- A. S1
  - B. S2
  - C. S3
  - D. S4

云贵准静止锋又称昆明准静止锋, 是影响贵州地区最主要的天气系统之一。受其控制贵州大部分地区冬季气温较低, 阴雨连绵, 有“天无三日晴”之说。图 6 为冬季云贵准静止锋日数逐年分布图。据此完成 11~13 题。

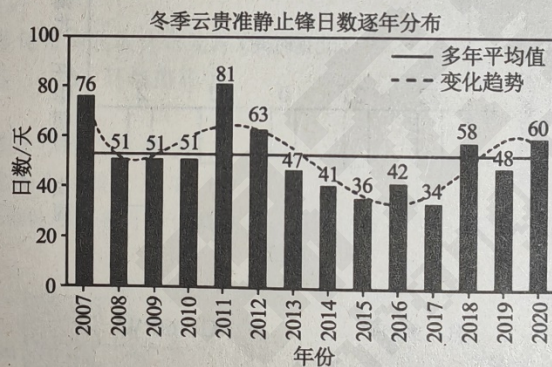
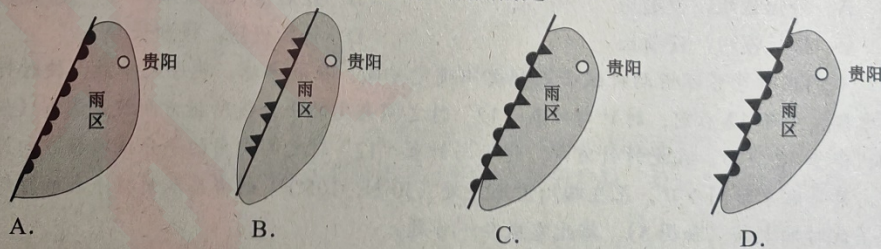


图 6

11. 冬季贵州阴雨连绵, 其降水主要属于
- A. 锋面雨
  - B. 台风雨
  - C. 对流雨
  - D. 地形雨
12. 下列能正确反映贵阳冬季“天无三日晴”成因的是



13. 2011年准静止锋日数长达81天,可能是因为当年

- A. 高大地形阻挡减弱
- B. 贵阳太阳高度角小
- C. 强冷空气活动频繁
- D. 昆明日照时数较长

当地时间11月19日,美国和加拿大西海岸多地遭到“炸弹气旋”袭击,造成大规模断电和水陆交通受阻。所谓“炸弹气旋”,是指一类特别的中纬度锋面气旋,中心气压在24小时降低24 hPa,因其急速发展且强度高而得名。图7为该地11月20日3:00天气形势示意图。据此完成14~15题。

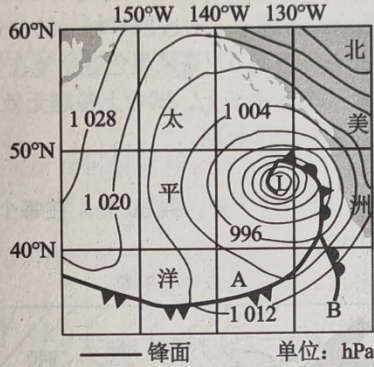


图7

14. 该“炸弹气旋”近地面气流运动状态为

- A. 顺时针辐合
- B. 顺时针辐散
- C. 逆时针辐合
- D. 逆时针辐散

15. “炸弹气旋”急速发展的原因可能是

- ① 冷暖空气强烈交锋
- ② 洋面温度急剧下降
- ③ 洋面大量水汽凝结
- ④ 中心气压急剧升高

- A. ①③
- B. ②③
- C. ①④
- D. ②④

台湾岛是我国的第一大岛,澎湖列岛位于台湾海峡之中,主要是由玄武岩构成的岛屿。2024年11月22日晚间,台湾省台南市接连发生14起地震,这与台湾岛所处于地震多发区息息相关。图8为我国台湾省示意图,图9为岩石圈的物质循环示意图。据此完成16~17题。

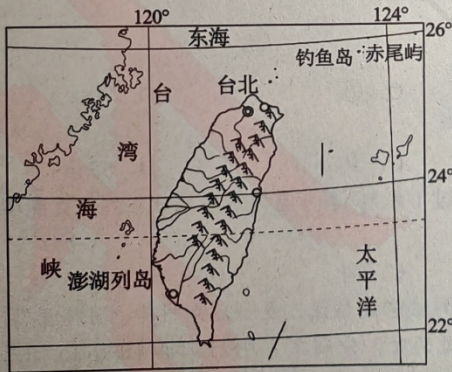


图8

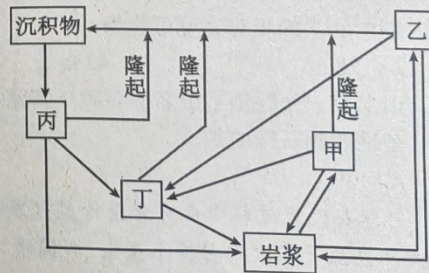


图9

16. 我国台湾地震多发的原因是
- A. 亚欧板块与印度洋板块相离运动      B. 亚欧板块与太平洋板块相离运动
- C. 亚欧板块与太平洋板块相向运动      D. 亚欧板块与印度洋板块相向运动
17. 组成澎湖列岛的岩石主要为图9中的
- A. 甲                      B. 乙                      C. 丙                      D. 丁

河流上大型水库的修建，会改变大坝下游河道的水沙条件，从而引起河床变化。一般来说，距离大坝越近的下游河段，受到的水流冲刷强度越大。为了研究2003年三峡大坝运行对下游沙洲的影响，某研究小组通过分析卫星拍摄的遥感影像资料，绘制了荆江河段两个典型沙洲不同时间的面积变化（图10）。据此完成18~20题。

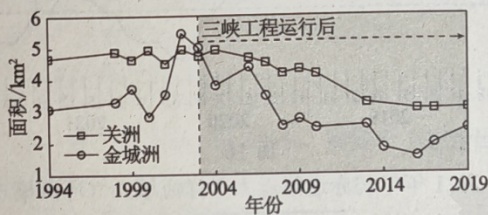


图10

18. 为更好地对比分析沙洲面积的年际变化，该研究小组提取遥感影像的月份可能是每年的
- A. 2月                      B. 5月                      C. 8月                      D. 11月
19. 据图可知，三峡工程投入使用后，荆江河段两个典型沙洲的面积变化趋势为
- A. 关洲持续减小                      B. 关洲逐渐变小，之后趋于稳定
- C. 金城洲持续减小                      D. 金城洲逐渐变小，之后趋于稳定
20. 三峡大坝运行后两个沙洲面积变化差异显著，最可能的原因是
- A. 关洲距三峡大坝更近                      B. 金城洲的泥沙颗粒更细
- C. 金城洲植被覆盖率高                      D. 关洲的采砂活动更严重

埃尔湖（如图11）海拔低于海平面12米，为澳大利亚最低点，湖水深度较浅，水位季节变化大，湖面最大可超过15 000 km<sup>2</sup>。据此完成21~23题。

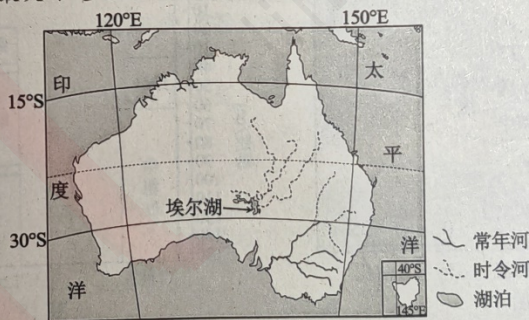


图11

21. 下列属于埃尔湖的主要补给水源的是
- A. 地下水                      B. 河流水                      C. 积雪融水                      D. 冰川融水

22. 埃尔湖水域面积最大的时间可能为  
 A. 1月                      B. 4月                      C. 7月                      D. 10月
23. 埃尔湖湖水深度较浅的自然原因可能是  
 ① 湖盆较浅                      ② 湖盆较窄  
 ③ 农业用水量大                      ④ 湖水蒸发量大  
 A. ①③                      B. ②③                      C. ①④                      D. ②④

海雾是出现在海上或沿海地区上空底层大气中的一种水汽凝结现象。纳米比亚位于非洲西南部，西部沿岸的纳米布沙漠是一片凉爽的海岸荒漠，沿海地区常常形成浓厚的海雾且不易消散。图 12 为纳米比亚位置示意图。据此完成 24~25 题。

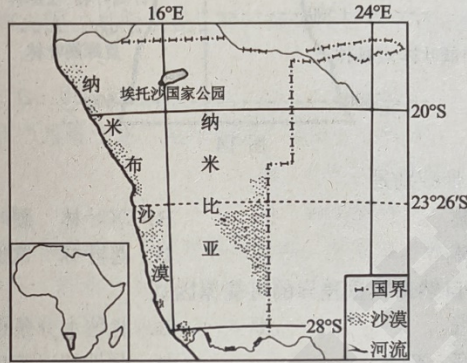


图 12

24. 纳米布沙漠西部海域常常形成浓厚海雾的主要原因是  
 A. 沿岸暖流提供暖湿空气                      B. 靠近沙漠海水温度较高  
 C. 海陆间的气温差异较大                      D. 沿岸寒流降温作用较强
25. 纳米布沙漠西部海域浓雾不易消散可能是因为  
 A. 气温较高                      B. 降水较少                      C. 风力较弱                      D. 光照较强

图 13 展示了我国某地区的自然和人文景观。据此完成 26~27 题。



图 13

26. 图 13 最适合的图名是  
 A. 自然环境整体性示意图                      B. 区域环境整体性示意图  
 C. 自然环境差异性示意图                      D. 区域环境差异性示意图
27. 图示地区农业主要分布在河谷地带的主导因素是  
 A. 热量                      B. 光照                      C. 水源                      D. 土壤

秦岭是我国南北方的地理分界线。太白山是秦岭山脉的主峰，其南北坡地理环境差异明显。图14为太白山垂直自然带分布。据此完成28~30题。

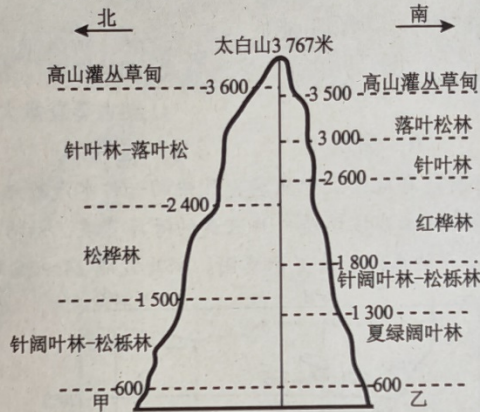


图 14

28. 太白山甲、乙自然带分别是
- A. 针叶林 常绿林
  - B. 落叶林 硬叶林
  - C. 针叶林 落叶林
  - D. 落叶林 常绿林
29. 导致太白山南北坡自然带数量差异的可能原因是
- A. 南坡起始海拔低
  - B. 北坡水分条件好
  - C. 南坡热量条件好
  - D. 北坡相对高度低
30. 太白山高山灌丛草甸带南北坡分布差异不明显，主要原因是山体顶部南北坡
- A. 海拔基本相同
  - B. 环境差异小
  - C. 坡度差异较小
  - D. 相互影响小

二、非选择题：本题共3小题，共40分。

31. 阅读图文材料，完成下列要求。(12分)

图15示意南美洲局部地区某月等温线分布、圣地亚哥和布宜诺斯艾利斯多年平均气温和降水量分布。

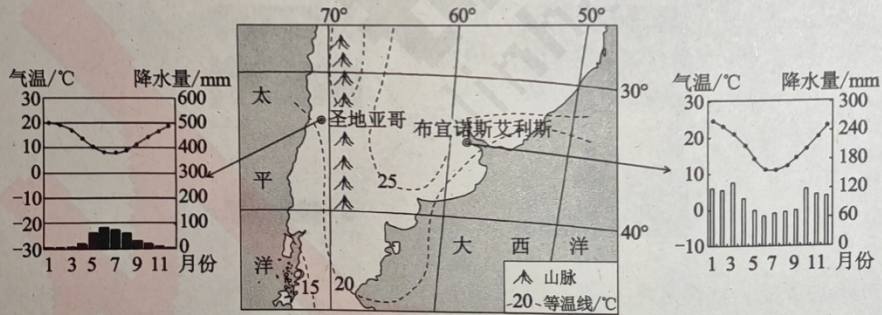


图 15

- (1) 指出图15所示的月份(1月或7月)，从海陆热力性质差异的角度说明理由。(6分)
- (2) 指出图15所示季节圣地亚哥和布宜诺斯艾利斯降水量的差异，并从大气环流角度说明原因。(6分)

32. 阅读图文材料,完成下列要求。(14分)

海温距平是指某海域一定时间内的海温与同期多年平均海温的差值。一般认为当赤道太平洋中东部海域海温距平连续3个月达到或超过 $0.5^{\circ}\text{C}$ 时,出现厄尔尼诺现象,达到或低于 $-0.5^{\circ}\text{C}$ 时,出现拉尼娜现象。图16为2018年1月至2022年9月期间赤道太平洋中东部海域月平均海温距平变化折线图。

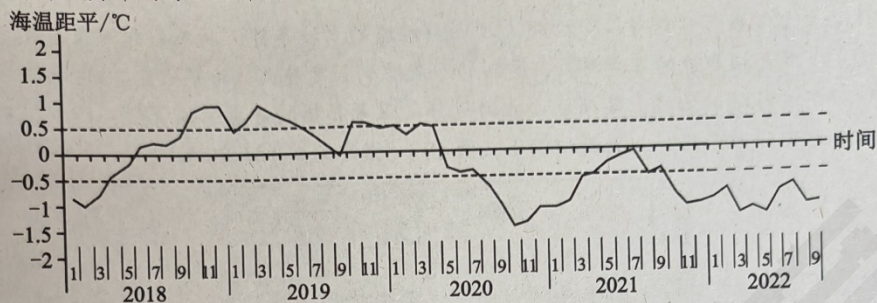
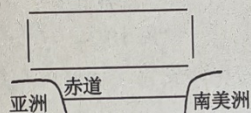


图16

(1) 补充箭头,完善2021年年初赤道附近太平洋海域大气环流模式图。(2分)



(2) 推测2018年年末南美洲西海岸渔业生产状况,并分析原因。(8分)

(3) 拉尼娜年西北太平洋生成的台风数量通常偏多,从海—气相互作用角度分析其原因。(4分)

33. 阅读图文材料,完成下列要求。(14分)

汉口滩是一种发育在河道内分叉口处的堆积地貌。江西赣江河道分叉频繁,在河道的分叉处,水流发生分流,发育形成汉口滩。研究人员从滩头到滩尾通过钻孔取样,研究汉口滩的发育特征。图17为赣江某处汉口滩示意图,图18为T1、T2、T3三处钻孔沉积物垂向序列示意图。

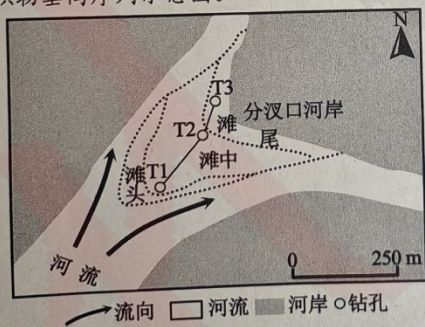


图17

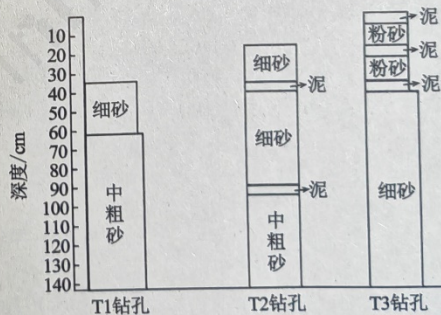


图18

- (1) 与T1和T2处相比,指出T3处沉积层及沉积物的特点。(4分)
- (2) 说明汉口滩的形成过程。(6分)
- (3) 推测未来该汉口滩的发育变化趋势。(4分)